

Filtrage d'images

Matériel Récupérez l'archive `td-filter.tgz`

1 Heat Equation

La première équation aux dérivées partielles (EDP) à avoir été étudiée dans le domaine du traitement des images est certainement l'équation de diffusion de la chaleur : $\partial_t u(x, y) = \Delta u((x, y), t)$ avec $t \geq 0$, $u(., 0) = u_0(.)$ et $u_0 : \Omega \subset \mathbb{R}^2 \rightarrow \mathbb{R}$ l'image initiale vue comme une fonction continue et Δu le Laplacien de u .

Écrire le programme `heat_equation` `<n>` `<ims>` `<imd>` qui réalise l'équation de la chaleur. Utiliser les schémas numériques d'approximation suivant. On note τ la discrétisation temporelle ($\tau = 0.25$)

- $u_{i,j}^n$ désigne la valeur $u((i, j), n\tau)$.
- Le terme $\partial_t u((i, j), n\tau)$ est approximé par $\tau^{-1}(u_{i,j}^{n+1} - u_{i,j}^n)$.
- Le Laplacien est discrétisé par différences finies. $\Delta u_{i,j}^n = u_{i+1,j}^n + u_{i-1,j}^n + u_{i,j+1}^n + u_{i,j-1}^n - 4u_{i,j}^n$

La figure 1 montre des exemples de filtrage avec l'équation de la chaleur. Nous pouvons remarquer que l'équation de la chaleur débruite l'image mais a tendance à la rendre floue. Les zones homogènes sont restaurées mais les contours sont érodés. Il s'agit là d'un filtre par diffusion isotrope (diffusion identique dans la même direction).



FIGURE 1 – Exemples d'exécution du programme `heat_equation.c`.

2 Anisotropic Diffusion

Pour améliorer l'équation de la chaleur, [1] ont proposé d'intégrer une fonction de détection de contours basée sur la norme du gradient.

L'équation de la chaleur se réécrit donc de la manière suivante : $\partial_t u = \text{div}(c(|\nabla u|)\nabla u)$ avec $u(., 0) = u_0(.)$ où c est une fonction décroissante¹. La fonction c est une fonction valant 1 en 0 et tend vers 0 en l'infini. Cela a pour effet de ralentir (ou stopper) la diffusion au point où la norme du gradient est élevée, i.e., les points de contours. [1] proposent deux fonctions de détection de contours : $c_1(s) = (1 + (s/\lambda)^2)^{-1}$ et $c_2(s) = \exp(-(s/\lambda)^2)$ où le paramètre λ permet de contrôler la diffusion.

Écrire le programme `anisotropic_diffusion` `<n>` `<lambda>` `<function>` `<ims>` `<imd>` qui réalise la diffusion anisotrope de Perona-Malik. Le paramètre `function` $\in \{c_0, c_1, c_2\}$ avec les discrétisations suivantes :

- le gradient $\nabla u = (\delta^1 u, \delta^2 u)$, par différences finies à droite, $\delta^1 u_{i,j} = u_{i+1,j} - u_{i,j}$ et $\delta^2 u_{i,j} = u_{i,j+1} - u_{i,j}$
- sa norme : $|\nabla u_{i,j}| = \sqrt{(\delta^1 u_{i,j})^2 + (\delta^2 u_{i,j})^2}$.
- par les différences finies à droite, l'opérateur de divergence est donnée, pour un vecteur $p = (p^1, p^2)$, par $\text{div}(p)_{i,j} = p_{i,j}^1 - p_{i-1,j}^1 + p_{i,j}^2 - p_{i,j-1}^2$

La figure 2 montre des exemples de filtrage pour les fonctions c_0 , c_1 et c_2 . Nous pouvons remarquer que nous retrouvons bien le même filtrage qu'avec l'équation de la chaleur dans le cas de la fonction c_0 (fig. 1(d) et 2(b)).

1. Si $c(.) = c_0(.) = 1$ alors nous retrouvons bien l'équation de la chaleur car $\text{div}(\nabla u) = \Delta u$

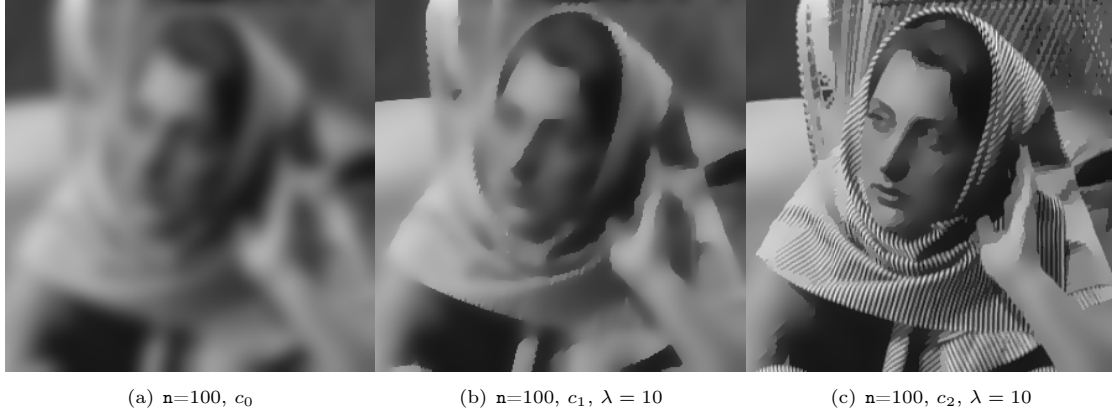


FIGURE 2 – Exemples d'exécution du programme `anistropinc_diffusion.c`

3 Bilateral Filter

Le filtre bilatéral [2] est un filtre non itérative permettant un filtrage préservant les contours. L'idée de combiner informations spatiales et colorimétriques dans un processus de filtrage par moyennes pondérées. Ainsi, si p est un pixel de l'image I et que I' est l'image restaurée peut s'écrire

$$I'(p) = \frac{\sum_{x \in V(p)} G_{\sigma_s}(|x - p|) \cdot G_{\sigma_g}(|I(x) - I(p)|) \cdot I(x)}{\sum_{x \in V(p)} G_{\sigma_s}(|x - p|) \cdot G_{\sigma_g}(|I(x) - I(p)|)} \quad \text{où } G_{\sigma}(k) = \exp(-k^2/2\sigma^2). \quad (1)$$

Le voisinage V est déterminé grâce à l'écart type σ_s .

Écrire le programme `bilateral` `<sigma_s>` `<sigma_g>` `<ims>` `<imd>` réalisant le filtre bilatéral. La figure 2 montre des exemples de filtrage avec le filtre bilatéral pour différentes valeurs de σ_g et σ_s .



FIGURE 3 – Exemples d'exécution du programme `bilateral`

4 NL-Means

Le filtre à moyennes non locales [3] peut être vu comme une extension du filtre bilatéral en intégrant la notion de similarité de patches dans le processus de filtrage.

Le NLmeans peut s'écrire de la manière suivante :

$$I'(p) = \frac{1}{C(p)} \sum_{q \in V(p,r)} w(p,q) I(q) \quad \text{avec} \quad C(p) = \sum_{q \in V(p,r)} w(p,q) \quad (2)$$

où $V(p,r)$ est le voisinage centré sur p et de taille $(2r+1)^2$. $C(p)$ est un facteur de normalisation et $w(p,q)$ est un poids qui dépend de la distance euclidienne $d = d(P(p), P(q))$ entre des patches P de taille $n \times n$ centrés sur les pixels p et q :

$$d(P(p), P(q)) = \frac{1}{n^2} \sum_j^{n^2} (I(p+j) - I(q+j))^2 \quad (3)$$

Comme fonction de poids, vous pouvez prendre une Gaussienne de type $w(p,q) = \exp(-d(P(p), P(q))/2\sigma^2)$ avec σ la variance estimée du bruit.

Écrire le programme `nlmeans` `<sigma>` `<ims>` `<imd>` réalisant le filtre à moyenne non locales. La figure 2 montre des exemples de filtrage pour différentes valeurs de σ .

Les résultats obtenus dans la figure 4 utilisent un voisinage $V(p, r) = 11 \times 11$ et des patches de tailles 5×5 .

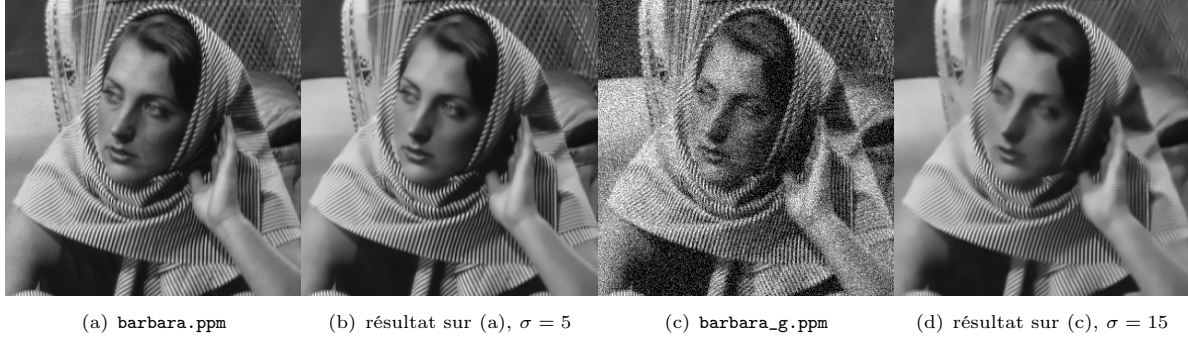


FIGURE 4 – Exemples d’exécution du programme `nlmeans`

5 Filtres dans le domaine fréquentiel

Écrire le programme `butterworth.c` qui réalise le filtrage dans le domaine des fréquences. Pour rappel, les filtres usuels de Butterworth sont les suivants. Dans tous les cas, n correspond à l’ordre du filtre et $d(u, v) = \sqrt{u^2 + v^2}$.

pas de passe bas et passe haut :

$$lp(u, v) = \frac{1}{1 + (d(u, v)/d_0)^{2n}} \quad \text{et} \quad hp(u, v) = \frac{1}{1 + (d_0/d(u, v))^{2n}} \quad (4)$$

où d_0 correspond à la fréquence de coupure.

rejet de bande et passe bande :

$$br(u, v) = \frac{1}{1 + (d(u, v).w / (d^2(u, v) - d_0^2))^{2n}} \quad \text{et} \quad bp(u, v) = 1 - br(u, v) \quad (5)$$

où d_0 et w correspondent au rayon et à la largeur de la bande.

rejet d’encoche :

$$no(u, v) = \frac{1}{1 + (d_0^2 / (d_1(u, v)d_2(u, v)))^{2n}} \quad (6)$$

avec $d_1(u, v) = \sqrt{(u - u_0)^2 + (v - v_0)^2}$ et $d_2(u, v) = \sqrt{(u + u_0)^2 + (v + v_0)^2}$, u_0 et v_0 sont les coordonnées du centre et d_0 le rayon.

La figure 5 montre les spectres d’amplitudes pour les images de test `lena.ppm` et `lena_sin.ppm`. Avec un zoom, sur l’image (d) nous pouvons voir deux pics (sur l’axe de fréquence v) qui correspondent à la trame ajoutée à l’image `lena.ppm` pour donner l’image `lena_sin.ppm`.

La figure 6 montre des résultats d’exécution du programme `butterworth.c` réalisant des filtrages fréquentiels avec les images `lena.ppm` et `lena_sin.ppm` avec $n=2$.

6 Method Noise

Afin d’évaluer visuellement la qualité des filtres, une des méthodes classique est la méthode « Method Noise », qui consiste à soustraire l’image initiale à la solution du filtre. La figure 7 montre une comparaison des différents filtres.

Références

- [1] P. Perona J. Malik, “Scale-space and edge detection using anisotropic diffusion,” *IEEE Trans. Pattern Anal. Mach. Intell.*, vol. 12, no. 7, pp. 629–639, 1990.
- [2] C. Tomasi and R. Manduchi, “Bilateral Filtering for Gray and Color Images”, in *Proc. IEEE ICCV*, 1998, pp. 839-846.
- [3] A. Buades, B. Coll and J.-M. Morel, “A review of image denoising algorithms, with a new one” *SIAM Multiscale Model. Simul.*, vol. 4, no. 2, pp. 490–530, 2005.

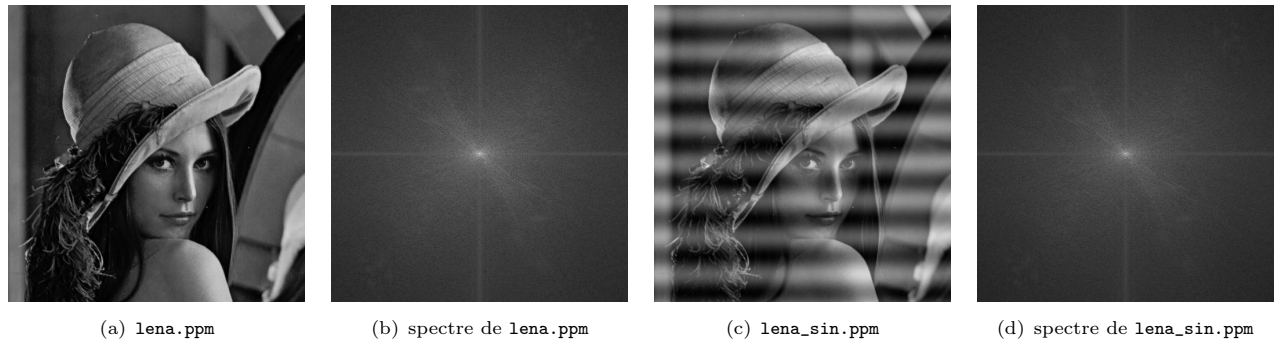


FIGURE 5 – Images de tests « lena » et leur spectre d’amplitude dans le domaine des fréquences.

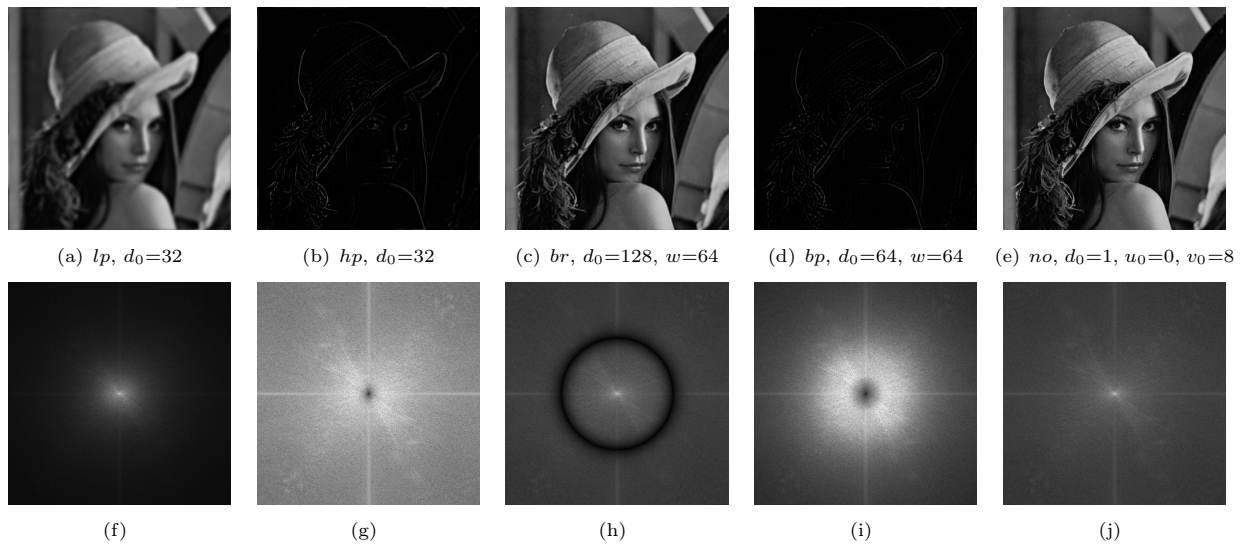


FIGURE 6 – Exemples d’exécution du programme `butterworth.c` sur `lena.ppm` et `lena_sin.ppm`

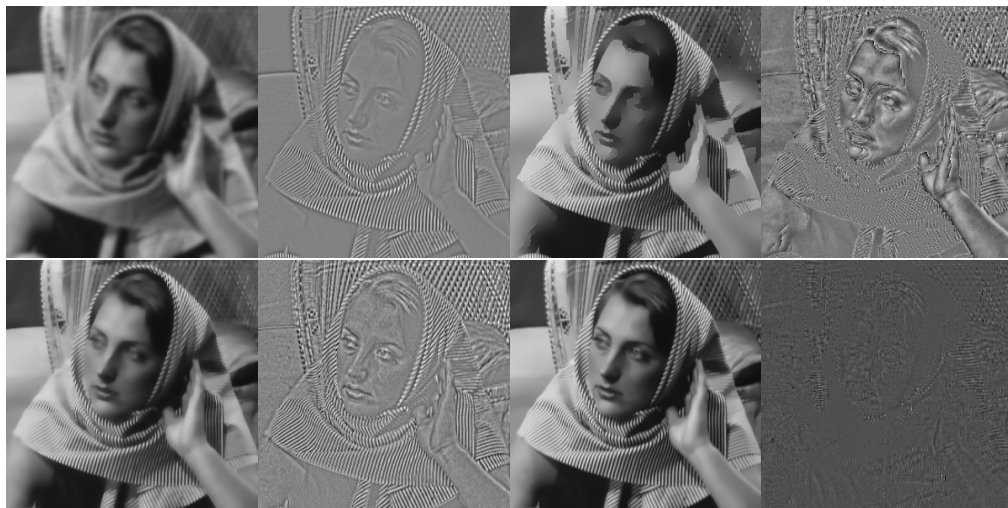


FIGURE 7 – Comparaison par Method Noise. Colonne de gauche, de haut en bas : Figs. 1(a), 2(c), 3(a), 4(a).